## 球殻微粒子の光吸収における量子サイズ効果

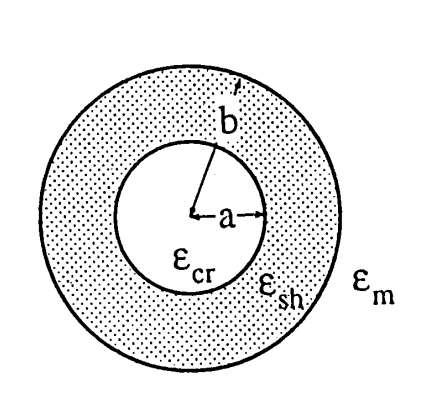
慶大理工 江藤 幹雄

## §1. 序

金属超微粒子における量子サイズ効果については、1962年に久保の論文 [1] が発表されて以来、多くの研究がなされて来た。その効果は光吸収スペクトルにも現れる。光吸収のピーク位置は集団励起モード (表面プラズモン) の固有振動数  $\omega_S$  に対応するが、その値は古典論での結果  $\omega_P/\sqrt{3}$  ( $\omega_P$ はバルク・プラズモンの固有振動数) からシフトする。また吸収ピークの線幅も系のサイズと共に変化し、それは Landau damping の機構で生じることが示される [2]。

最近、球殻状の金属微粒子が実験で作製され、その光吸収のサイズ依存性を観測することが可能となった。Zhou らは、半導体微粒子  $(Au_2S)$  の表面が金属 (Au) で置き換わった系を水溶液中に実現し、その光吸収を測定した [3] 。金属の球殻部分が厚くなるにつれ、(i) 2 種類の表面プラズモンの振動数が互いに近づくこと、(ii) 吸収の線幅が次第に sharp になること、という興味深い結果を報告している。また Martin らは、 $C_{60}$  分子の表面に金属をコートした系を研究している [4] 。

本論文の目的は、球殻微粒子の光吸収を理論的に研究し、実験結果と比較することである。まず、古典電磁気学の範囲での考察を行う ( $\S 2$ )。古典論の問題点を明らかにした後、量子サイズ効果を究明するため、久保公式から出発した第 1 原理からの計算を実行する。 $\S 3$  で Hartree-Fock (HF) 及び Random Phase Approximation (RPA) の定式化を解説した後、計算結果を  $\S 4$  で述べる。最後の章 ( $\S 5$ ) でその考察を行う。



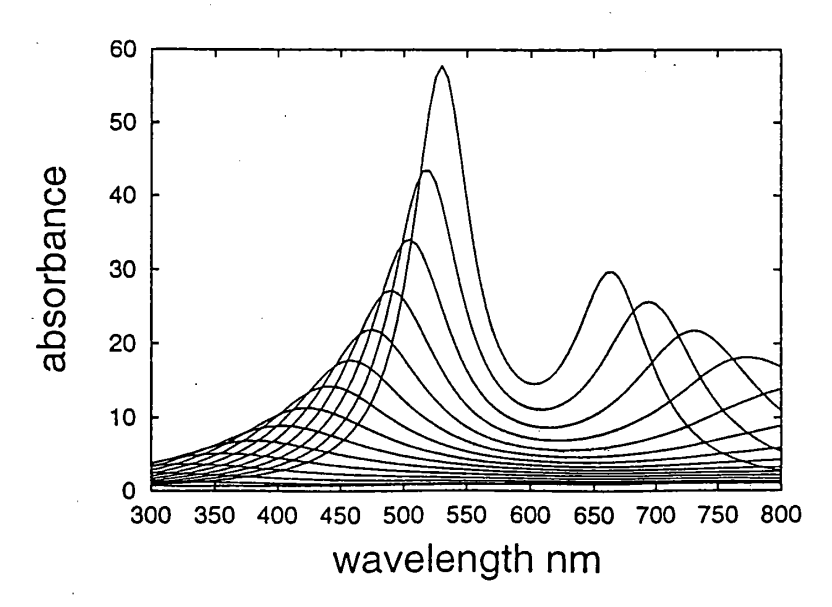


図 1: 球殻微粒子のモデル。

図 2: 吸収率の波長依存性 (古典電磁気学の結果)。外径は b=4.0nm に固定、内径  $a=b-0.2 \times n$ nm  $(n=1\sim15)$  で吸収率は n と共に増大している。電子密度は Au のバルクでの値を採り、また $\epsilon_{\rm m}/\epsilon_0=1.33$ ,  $\epsilon_{\rm cr}/\epsilon_0=6.5$  とした。

研究会報告

## §2. 古典電磁気学による計算

モデルとして図1のような球殻微粒子を考える。外径b、内径aで囲まれた部分は金属で、その外側、内側はそれぞれ誘電率 $\epsilon_m$ ,  $\epsilon_{cr}$ の誘電体である。微粒子の大きさは電場の波長よりも短い場合を考え(長波長極限)、従って外部電場は空間的に一様とする。計算の概要は以下の通りである。

- (1) まず外部電場  $\mathbf{E}_{\mathrm{ex}}(\omega)$  がかかっている場合の球殻内での内部電場  $\mathbf{E}(\mathbf{r},\omega)$  を求める。それは古典電磁気に従って Laplace 方程式を解くことで計算される。
- (2) 微粒子の分極 P は、RPA の範囲で、内部電場及び独立電子系の分極率  $\alpha_0(\omega)$  を用いて次式のように書かれる。

$$\mathbf{P}(\mathbf{r},\omega) = \alpha_0(\omega)\mathbf{E}(\mathbf{r},\omega). \tag{1}$$

ここで分極率  $\alpha_0(\omega)$  は

$$\alpha_0(\omega) = \sum \frac{f_s - f_t}{\hbar \omega + \varepsilon_s - \varepsilon_t + i\delta} |(P_z)_{st}|^2, \tag{2}$$

で与えられる ( $\varepsilon$ ,は 1 電子の固有エネルギー、f,は Fermi 分布関数)。 それを球殻に閉じこめられた独立電子系に対して計算する。

(3) 最後に、光吸収スペクトルは外場の成す仕事率の表式を用いて求められる [5]。

その計算結果を図 2 に示した。図は $\epsilon_m/\epsilon_0=1.33$ ,  $\epsilon_{cr}/\epsilon_0=6.5$  の場合の吸収係数の波長依存性を表している。球殻が厚くなるに従って、2 つの吸収ピークの位置が互いに近づくこと、それらの線幅が次第に狭くなること、がわかる。この特徴は Zhou らの実験結果 [3] と良く一致するものである。また球殻内外の誘電率 $\epsilon_{cr}$ ,  $\epsilon_m$  を変えると、吸収スペクトルが定性的にも変化することが明らかになり [5] 、それは球殻の周りの分極の効果の重要性を示唆している。

以上の計算では Coulomb 相互作用の効果は (1) 式右辺の内部電場を通じて考慮されている。しかし 古典電磁気学では、誘起電荷は球殻の表面に  $\delta$ 関数的に分布していると仮定している。実際には誘起電 荷は Fermi 波長  $(\lambda_F)$  程度に広がっているため、 $\lambda_F$ が系のサイズに比べて無視できない場合、その近似 は非常に深刻になる。その領域を扱うためには久保公式から出発し、また Coulomb 相互作用を第 1 原 理からの計算で考慮することが必要となる。

### §3. HF-RPA 法

外部電場  $\mathbf{E}_{\mathrm{ex}}(\omega)$  に対する分極  $\mathbf{P}(\omega)$  の応答  $\alpha_e(\omega)$ ,  $\mathbf{P}(\omega) = \alpha_e(\omega)\mathbf{E}_{\mathrm{ex}}(\omega)$ , は久保公式によって次式で与えられる。

$$\alpha_{e}(\omega) = \langle \langle P_{z}; P_{z} \rangle \rangle_{\omega}$$

$$\equiv \frac{1}{i\hbar} \int_{0}^{\infty} \langle [P_{z}(t), P_{z}] \rangle e^{-i\omega t - \delta t}.$$
(3)

ここで分極率  $\langle\langle P_z; P_z\rangle\rangle_{\omega}$  を Hartree-Fock (HF) の 1 電子軌道  $\psi_r(\mathbf{r})$  で展開する。Green 関数  $\langle\langle a_r^{\dagger}a_{r'}; P_z\rangle\rangle_{\omega}$  は RPA で次の関係式を満たす。

$$\langle\langle a_r^{\dagger} a_{r'}; P_z \rangle\rangle_{\omega} = G_{r,r'}^{(0)}(\omega)(P_z)_{r',r}$$

「原子核とマイクロクラスターの類似性と異質性」

$$+ \sum_{s,s'} G_{r,r'}^{(0)}(\omega) (V_{sr's'r} - V_{sr'rs'}) \langle \langle a_s^{\dagger} a_{s'}; P_z \rangle \rangle_{\omega}, \tag{4}$$

$$G_{r,r'}^{(0)}(\omega) = \frac{f_{r'} - f_r}{\hbar\omega - (E_r - E_{r'}) - i\delta}.$$
 (5)

ここで  $E_r$ は HF の固有エネルギー、 $V_{sr's'r}$ は Coulomb 相互作用の matrix element を表す。この Green 関数を用いて、分極率は

$$\alpha_{\mathbf{e}}(\omega) = \sum_{r,r'} (P_z)_{r,r'} \langle \langle a_r^{\dagger} a_{r'}; P_z \rangle \rangle_{\omega}, \tag{6}$$

にように書かれる。この結果は、バルク極限では(1)式の定式化と一致することが示される[6]。

この関係式を図 1 のモデルに適用する。但し、電子は  $\infty$  の potential によって球殻内に閉じこめられ、また  $\epsilon_{\rm cr}=\epsilon_{\rm m}=\epsilon_0$  と仮定した。球殻内には一様な正の電荷を分布させて neutrality を保った。電子配置が closed shell の場合のみを扱ったが、この場合計算式が非常に簡単化される [7]。また、レベル間隔が  $k_{\rm B}T$ に比べて大きい場合を考えて、T=0 での計算を行った。

## §4. 計算結果

図 3(A) に外径を b=7.2 Å, 電子密度を Wigner-Seitz 半径  $r_s=3$  に固定した球殻の光吸収,  $\Im \alpha_e(\omega)$ , を示す。1 電子レベルの離散性を反映した細かい構造が現れるが、非常に大きな吸収ピークが 2 つ見られる。球殻が厚くなるに連れて それらのピークの位置が次第に近づいて行く。(ある程度厚くなった系

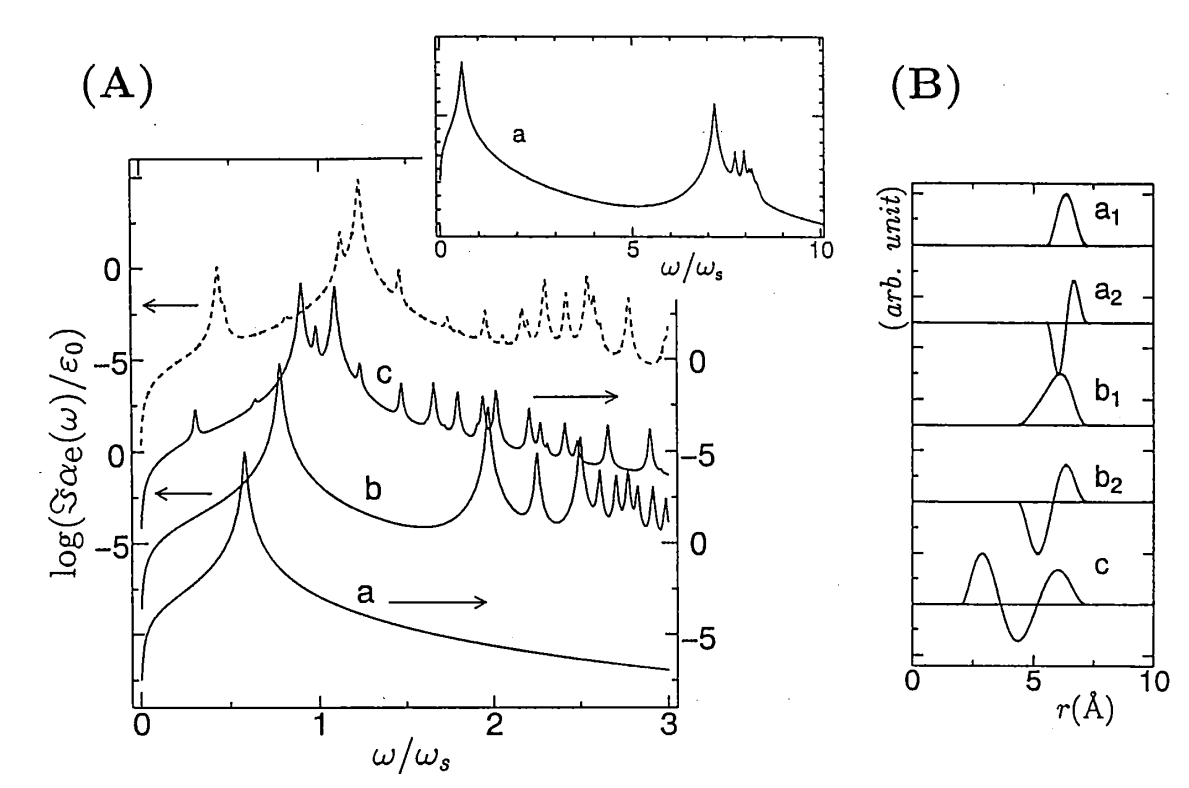


図 3: (A) 吸収率の振動数依存性 (HF-RPA の結果)。外径 b=7.2Å、Wigner-Seitz 半径  $r_s=3$  の場合で、電子数 N (内径と外径の比 a/b) はそれぞれ (a) 50 (0.77), (b) 62 (0.66), (c) 90 (0.28)。破線は半径 b の球 (N=92) の結果を示す。(B) 吸収ピークでの誘起電荷の動径分布。 $\mathbf{a_1}$ , $\mathbf{b_1}$ は低エネルギー側のピークに、 $\mathbf{a_2}$ , $\mathbf{b_2}$ は高エネルギー側のピークに対応。 $\mathbf{c}$  では最大ピークでの結果を示す。

### 研究会報告

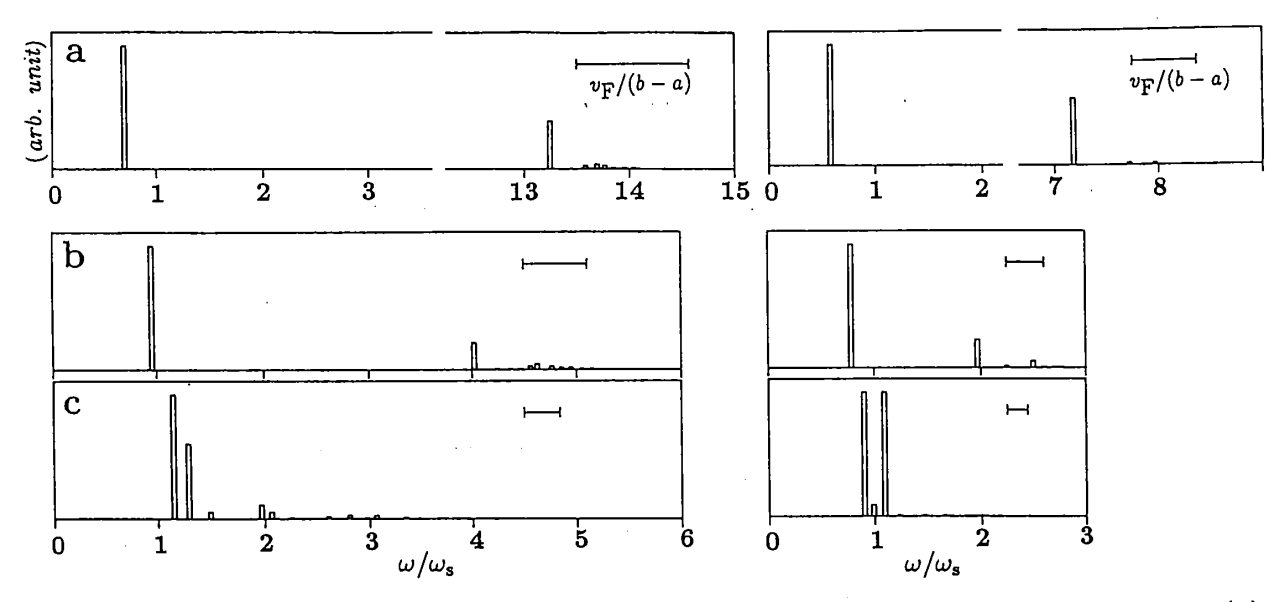


図 4: 振動子強度の分布の振動数依存性。左図は  $r_s=1$ 、右図は  $r_s=3$  の場合を表す。電子数 Nは (a) 50, (b) 72, (c) 90。外径 b は a=0 の場合に N=92 になるように固定し、内径 a を動かした。

c(a/b = 0.28) では 2 つのピークの区別は出来ない。)

図 3(B) は各吸収ピークでの誘起電荷分布を表している。(誘起電荷は  $\cos\theta$ に比例することが示され [7]、図では $\theta=0$  での動径方向依存性を示す。) これを見ると、低エネルギー側のピークでは動径方向 にはノードがなく、高エネルギー側のそれでは 1 つのノードを持つことがわかる。

線幅の議論を行うには、振動子強度を導入するのが便利である。分極率は振動子強度の重みで複数 の Lorentian を重ね合わせた形で書ける [7]。図 4 にその分布を示した。

まず低エネルギー側のピークに着目すると、最大の振動子強度 1 つだけから構成されていることがわかる。これは 1 電子レベルの離散性に起因している。Hartree-Fock で得られる基底状態を見ると、薄い球殻系 a (b) で電子は 1s, 1p, 1d, 1f, 1g (1s, 1p, 1d, 1f, 1g, 1h) レベルを占有する。非占有軌道の中では 2s レベルは 1h (1g) レベルより非常に高い所に位置する [7,8]。従って、最大の振動子強度は主として 1g  $\rightarrow$  1h (1h  $\rightarrow$  1i) の励起から形成される。一方、残りの振動子強度は  $1l \rightarrow 2l'$  (l, l' = s, p, d, $\cdots$ ) の多くの励起から構成され、従ってそれらの位置は、最初の振動子強度から高エネルギー側に大きく離れる。

図4中の高エネルギー側のピークは、それら多くの振動子強度から構成される。その広がりは非対称で、高エネルギー側に裾野を引く様子が見られる。その線幅はおおよそ  $v_{\rm F}/(b-a)$  と一致していることがわかる。

## §5. 結論と考察

まず古典論の結果 (図 2) と量子論の結果 (図 3) を比べると、ピークの大小関係が逆になっている (図 2 の横軸が波長になっていることに注意)。それは誘電関数 $\epsilon_{cr}$ ,  $\epsilon_{m}$ の効果のためで、それらを $\epsilon_{0}$  にすると

図3と同じ大小関係になる[5]。いずれの結果でも、球殻が厚くなるにつれて2つのピークは互いに近づき合う。よって、ピーク位置のサイズ依存性に関しては、両者の結果は基本的に一致していると言える。

一方線幅に関しては、量子論では (i) 低エネルギー側の鋭いピーク、(ii) 高エネルギー側の非対称性、と言うエネルギー・レベルの離散性を反映した特徴が現れた。それらは古典論では説明出来ない量子サイズ効果である。球状の微粒子と比較すると、球殻微粒子では量子サイズ効果がより容易に現れる可能性がある。Zhou らの実験 [3] ではその効果がはっきりと見られる程には系が小さくないが、 $C_{60}$  分子の表面に金属をコートした系 [4] 等ではその観測が期待される。

最後に線幅の起源について述べる。線幅が $v_F/(b-a)$ と一致する結果は、その原因が微粒子表面での散乱であるかのように思われる。が、今、表面の効果はSchrödinger方程式の境界条件として扱っているだけで、そこでの非弾性散乱の効果は入っていない。ゆえに、線幅の原因はLandau減衰の機構によるものである。その議論はすでに球状の微粒子に対して、川端、久保によってなされている[2]。

この研究は川村 清教授 (慶大理工) との共同研究によるものである。

# 参考文献

- [1] R. Kubo: J. Phys. Soc. Jpn. 17, 975 (1962).
- [2] A. Kawabata and R. Kubo: J. Phys. Soc. Jpn. 21, 1765 (1966).
- [3] H. S. Zhou, I. Honma, H. Komiyama and J. W. Haus, Phys. Rev. B50, 12052 (1994).
- [4] T. P. Martin, S. Frank, N. Malinowski, U. Näher, F. Tast, K. Wirth and U. Zimmermann, in the proceedings of Seventh International Symposium on Small Particles and Inorganic Clusters (Kobe, 1994).
- [5] K. Kawamura, N. Urata and M. Eto, in the proceedings of Seventh International Symposium on Small Particles and Inorganic Clusters (Kobe, 1994).
- [6] 川村 清: 日本物理学会誌 44,245 (1989).
- [7] M. Eto and K. Kawamura: Phys. Rev. B51, 10119 (1995).
- [8] T. Inaoka: J. Phys. Soc. Jpn. 63, 2490 (1994).